

*Eucalyptus* *Parishii* *contorta* *torulata* *terrestris* *viridis*

AND E. H. KNOLL, MALCOLM J. ALLEN, G. M. NAUBONNE AND NICHOLAS J. EBLICK

## LETHAI



... ..



... M<sub>0</sub> ... A ... M<sub>0</sub> ... A ...  
 ... M<sub>0</sub> ... A ...  
 ... N. ... E ... C ... ( ... ) et al. 1981; ... et  
 al. 2003, 2003 ), ... (C ... 1990), ... G ... E ... N ...  
 (H ... et al. 1998; K ... et al. 1998), ...  
 ... E ... (E ... & H ...  
 1995), ... B ... E ...  
 I ... (G ... & K ... 1981; K ... et al. 2000; ... et  
 al. 2003 ), ... I ... E ...  
 ... C ... (A ... 1991; N ... & A ... 1995;  
 ... et al. 2001). I ... M ... (N ...  
 1976; K ... 2000) ...  
 ... G ... E ... (E ... & E ...  
 1989) ... N ...  
 ... N ... A ...  
 (H ... et al. 2005); ... P ...  
 ... G ... E ...  
 ... 580. ...  
 ... (B ... et al. 2003; C ... et al. 2005).

Biostratigraphy. —

... M<sub>0</sub> ... -P ...  
 635.5 ± 1.2 M<sub>0</sub> (H ... et al. 2004) ... 663 ± 4 M<sub>0</sub>  
 ( ... et al. 2003) ...  
 ... -P ... 635.2 ± 0.6  
 M<sub>0</sub> ... 621 ± 7 M<sub>0</sub> ...  
 ... C ... (C ... et al. 2005;  
 ... et al. 2005; ... et al. 2005, ...  
 ... 628.3 ± 5.8 M<sub>0</sub> ...  
 ... D ... E ...  
 ... -P ...  
 ... (B ... et al. 2003).  
 ... C ...  
 ... (K ...  
 et al. 1998; H ... et al. 2005). ... G<sub>3</sub>/P

M. ... A ... D ... E ... C ... N ... ( & K ... 2000; ... et al. 2000). B ... et al. (2002) ... P -P ... 599±4 ... -P ... D ... ca. 560–580 M ... E ... N ... (Cloudina) ... R ... 555 ... (M ... et al. 1999). ... E ... P ... D ... E ... (E ... 1C, D; ... 1990; J. ... et al. 1992;

... & ... 1992; ... et al. 1998; G ... 2005), ... A ... (G ... 2005). B ... R ... I ... C ...

...  $\delta^{13}\text{C}$  ...  $+1 \text{‰}$  ...  $-3 \text{‰}$  ...  $-8 \text{‰}$  ...  $+8 \text{‰}$  ...  $^{87}\text{Sr}/^{86}\text{Sr}$  ...  $\text{C}$  ...  $\text{M}$  ...  $\text{N}$  ...  $\text{R}$  ...  $\text{K}$  ...  $\text{C}$  ...  $\text{H}$  ...  $\text{I}$  ...  $\text{E}$  ...  $\text{C}$  ...

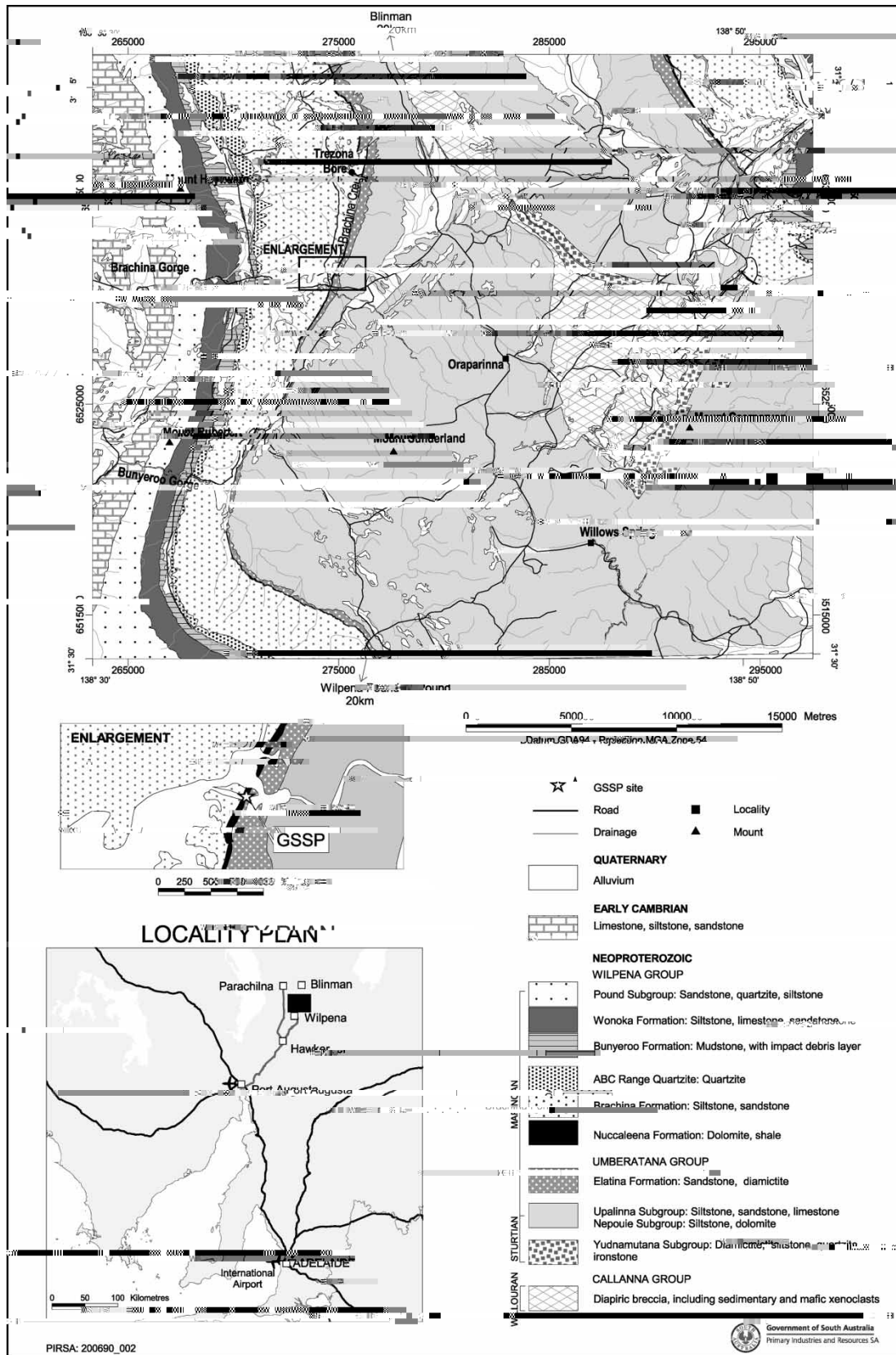


Fig. 4. Geological map of the Wilpena Pound area, South Australia, showing the location of the GSSP site and the localities of the fossiliferous strata. The map is based on the geological map of the Wilpena Pound area by R. A. ... & R. ... (1999).

PA ACHILNA 1:250,000 (1999) & R. (1999) E. N. (1999) G/P. (1987, 1990, 1993). C. E. B. (E. 1A, B) R. (26). N. E. H. P. (D. 1985), (J. 1986), Bunyer-ichnus dalgarnoi G. (E. 5) E. B. A. G. (J. 1995), P. G. M. A. 30-40 N.

54, 274825 ± 5. E, 6531235 ± 5. N (GDA 94), 31° 19' 53.2" S, 138° 38' 0.2" E.

A. E. G. A. 400 F. N. P. It. A. F. M. P.

Geological location. — E. N. M. G. A. C. (A. G.). G. 1:250,000 1:63,360 (D. et al. 1964; D. & I. 1965, 1966) G. A. R. I. A.



G... (G... et al. 1986; ... 1986; ... et al. 1989; G... et al. 2003). A... (Z... 1997; G... 2005; G... et al. 2003). M... F... A... G... (R... 1987, 1990; ... & G... 1991; R... 1993), ... M... (M... 1949;

R... et al. 1978; R... 1987, 1990, 1993; L... & G... 1990).

M... E... E... (7.5°



Fig. 7. Outcrop of Enderby Gneiss in the Nuvyung area, showing the contact with the G/P. The contact is marked by a thin layer of quartzite (see Fig. 7). An Enderby Gneiss sample has a  $^{40}\text{Ar}/^{39}\text{Ar}$  age of 0.85 Ga. The Enderby Gneiss is a mafic gneiss with a high degree of metamorphism.

... of the ...  
 H ...  
 ... G & C ... (1998)  
 ... K ...  
 ... A ... M ...

... Tungussia julia ...  
 ... M ...  
 ... N ...  
 ... E ...  
 ... I ...  
 ... E ...



Fig. 8. Close-up of G/P contact in Enderby Gneiss. The contact is marked by a thin layer of quartzite (see Fig. 7). The circular features are likely to be small-scale structures.

... (P... 1979; ... 1979; R... 1987, 1990, 1993;  
L... & G... 1990; D... 1992; K... 1996;  
C... 2000). ... (f...), ...  
... (E)... 2).  
L... N...  
...

P. ... G<sub>2</sub>/P<sub>1</sub> ... C ... 100 ... G<sub>2</sub>/P<sub>1</sub>.

Principal correlation events at the GSSP level. — E. ... P. ... E. ... M. ... G<sub>2</sub>/P<sub>1</sub> ... A. ...

Demonstration of regional and global correlation. — G<sub>2</sub>/P<sub>1</sub> ... F. ... A. ... N. ... (R. ... 1987). I ... F. ... M. ... L. ... A. ... N. ... (D. ... & ... B. ... 1994; C. ... B. ... et al. 1995). I ... G<sub>2</sub>/P<sub>1</sub> ... E. ... I. ... A. ... A. ... G<sub>2</sub>/P<sub>1</sub> ... O. ... E. ... (R. ... et al. 1978; K. ... 1996), ... P. ... E. ... E. ... F. ... I. ... A. ... B. ... O. ... E. ... G. ... (E. ... 1991; F. ... et al. 1991), ... N. ... B. ... A. ... M. ... D. ... E. ... C. ... K. ... A. ... (G. ... & C. ... 1998).

A. ... N. ... M. ... /G ... (K. ... et al. 1998; H. ...

et al. 2005). M. ... N. ... (K. ... 2000), ... C. ... (+10%) ... (-5% -7%) ... (H. ... & ... 2002; H. ... et al. 2004), ... <sup>87</sup>Sr/<sup>86</sup>Sr (K. ... et al. 1993). M. ... (K. ... 2000), ... E. ... B. ... (F. ... 1990; N. ... 1998), ... C. ... (K. ... et al. 1997; ... et al. 2000), ... <sup>87</sup>Sr/<sup>86</sup>Sr (K. ... et al. 1993). C. ... M. ... C. ... (K. ... 1996; J. ... et al. 2001; H. ... & ... 2002; A. ... & H. ... 2005). C. ... G. ... N. ... (K. ... et al. 1998; M. ... & K. ... 1999).

E. ... P. ... A. ... (E. ... 9 ...

Age of the GSSP. — Determination of the age of the GSSP is a matter of (8) the relative positions of the GSSP and the Eocene-Norwegian boundary. The GSSP is located in the middle of the Eocene-Norwegian boundary.

Age of the GSSP. — Determination of the age of the GSSP is a matter of (8) the relative positions of the GSSP and the Eocene-Norwegian boundary. The GSSP is located in the middle of the Eocene-Norwegian boundary.



Dickens, C., J. ... , J.E. & C. ... . P. 1964: B. ... .





Precambrian Research 100, 371–433.

